

クラスター変分法に基づく 核子制動放射のニュートリノ放射率の精密化

早稲田大学先進理工学部物理学科

早稲田大学理工学術院総合研究所（先端基礎物理学研究所）

鷹野正利

Contents

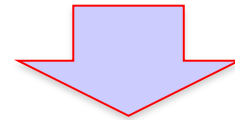
1. Introduction : 修正ウルカ過程と核子制動放射
2. 先行研究 : LOCV法による修正ウルカ過程計算
3. Maxwellの方法への適用
4. まとめと今後の展望

2023/03/02 第9回超新星ニュートリノ研究会
九州大学伊都キャンパスセンター2号館2302講義室

1. Introduction

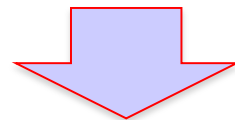
研究目的

現実的核力から出発した変分法による
超新星爆発計算用
核物質状態方程式 (Togashi EOS)



Nucl. Phys. A 961 (2017) 78

核子有効質量、核子間相関関数



修正URCA過程、核子制動放射での
ニュートリノ放出率への応用
(EOSとconsistentなニュートリノ放出率)

現実的核力から出発した変分法による 超新星爆発計算用核物質状態方程式*)

H. Togashi,¹⁾ K. Nakazato,²⁾ Y. Takehara,³⁾
S. Yamamuro,³⁾ H. Suzuki,³⁾ and M. Takano⁴⁾

1) 九州大理, 2) 九州大基幹教育院, 3) 東京理科大理工, 3) 早稲田大理工⁴⁾

An EOS table for supernova numerical simulations
constructed with the cluster variational method
based on the Argonne v18 two-body potential
and the Urbana IX three-body potential

APR-EOS

Grid point

Parameter	Minimum	Maximum	Mesh	Number
$\log_{10}(T)$ [MeV]	-1.00	2.60	0.04	91 + 1
Y_p	0.00	0.65	0.01	66
$\log_{10}(\rho_B)$ [g/cm ³]	5.1	16.0	0.10	110

*)H. Togashi et al., Nucl. Phys. A 961 (2017) 78.

核物質ハミルトニアン

$$H = H_2 + H_3$$

$$H_2 = -\sum_{i=1}^N \frac{\hbar^2}{2m} \nabla_i^2 + \sum_{i<j}^N V_{ij}, \quad H_3 = \sum_{i<j<k}^N V_{ijk}$$

V_{ij} : The AV18 potential (isoscalar), V_{ijk} : The UIX potential

The AV18 two-body potential

R. B. Wiringa et al., PRC 51 (1995) 38

$$V_{ij} = \sum_{t=0}^1 \sum_{s=0}^1 \left[V_{Cts}(r_{ij}) + V_{Tt}(r_{ij}) S_{Tij} + V_{SOt}(r_{ij}) (\mathbf{s} \cdot \mathbf{L}_{ij}) \right. \\ \left. + V_{qLts}(r_{ij}) |\mathbf{L}_{ij}|^2 + V_{qSOt}(r_{ij}) (\mathbf{s} \cdot \mathbf{L}_{ij})^2 \right] P_{tsij} + V_{\text{corr}}$$

中心力
テンソル力
スピン軌道力

L²乗項
2次のスピン軌道力
 t : isospin, s : spin

2核子散乱実験データをよく再現する

Jastrow波動関数

$$\Psi(x_1, \dots, x_N) = \text{Sym} \left[\prod_{i < j} f_{ij} \right] \Phi_F(x_1, \dots, x_N)$$

Φ_F : 絶対零度Fermi気体の波動関数 $\text{Sym}[]$: 対称化演算子

f_{ij} : 2核子間相関関数

$$f_{ij} = \sum_{t=0}^1 \sum_{\mu} \sum_{s=0}^1 [f_{Cts}^{\mu}(r_{ij}) + s f_{Tt}^{\mu}(r_{ij}) S_{Tij} + s f_{SOt}^{\mu}(r_{ij}) (\mathbf{s} \cdot \mathbf{L}_{ij})] P_{tsij}^{\mu}$$

- f_{Cts}^{μ} : 中心力型相関関数 t : isospin
- f_{Tt}^{μ} : テンソル力型相関関数 s : spin
- f_{SOt}^{μ} : スピン軌道力型相関関数 $\mu = (+, 0, -)$
for (p-p, p-n, n-n) pairs ($t=1$)

P_{tsij}^{μ} : スピンアイソスピン射影演算子

クラスター変分法

Hamiltonian期待値

クラスター展開

$$\frac{\langle H_2 \rangle}{N} = \frac{1}{N} \frac{\langle \Psi | H_2 | \Psi \rangle}{\langle \Psi | \Psi \rangle} = \frac{\langle H_2 \rangle_2}{N} + \frac{\langle H_2 \rangle_3}{N} + \dots$$

2体クラスター近似

$\langle H_2 \rangle_2 / N$: 2体クラスター項

$\langle H_2 \rangle_3 / N$: 3体クラスター項

高次クラスター項を
系統的に取り込む

FHNC法 (APR, AM)

2体クラスター近似

$$\frac{E_2}{N} = \frac{\langle H_2 \rangle_2}{N} [f_{Cts}^\mu(r), f_{Tt}^\mu(r), f_{SOt}^\mu(r)]$$

$f_{Cts}^\mu(r), f_{Tt}^\mu(r), f_{SOt}^\mu(r)$ Euler-Lagrange 方程式

→ 最小化されたエネルギー

$\frac{\langle H_2 \rangle}{N}$ の2体クラスター近似

$$\frac{E_2}{N} = E_F(x) + 2\pi\rho \sum_{t=0}^1 \sum_{\mu} \sum_{s=0}^1 \int \left[F_{is}^{\mu}(r) V_{Cts}(r) + s F_{Tr}^{\mu}(r) V_{Tr}(r) + s F_{SOt}^{\mu}(r) V_{SOt}(r) \right. \\ \left. + F_{qLts}^{\mu}(r) V_{qLts}(r) + s F_{qSOt}^{\mu}(r) V_{qSOt}(r) \right] r^2 dr \\ + \frac{2\pi\hbar^2\rho}{m} \sum_{t=0}^1 \sum_{\mu} \sum_{s=0}^1 \int \left[\left\{ \left[\frac{df_{Cts}^{\mu}(r)}{dr} \right]^2 + 8s \left[\frac{df_{Tr}^{\mu}(r)}{dr} \right]^2 + 48s \left[\frac{f_{Tr}^{\mu}(r)}{r} \right]^2 \right\} F_{Fts}^{\mu}(r) + \frac{2}{3}s \left[\frac{df_{SOt}^{\mu}(r)}{dr} \right]^2 F_{qFr}^{\mu}(r) \right] r^2 dr$$

$$F_{is}^{\mu}(r) = [f_{Cts}^{\mu}(r)]^2 F_{Fts}^{\mu}(r) + 8s [f_{Tr}^{\mu}(r)]^2 F_{Fr1}^{\mu}(r) + \frac{2}{3}s [f_{SOt}^{\mu}(r)]^2 F_{qFr1}^{\mu}(r)$$

$$F_{Tr}^{\mu}(r) = 16 \left\{ f_{Cr1}^{\mu}(r) f_{Tr}^{\mu}(r) - [f_{Tr}^{\mu}(r)]^2 \right\} F_{Fr1}^{\mu}(r) - \frac{2}{3}s [f_{SOt}^{\mu}(r)]^2 F_{qFr1}^{\mu}(r)$$

$$F_{SOt}^{\mu}(r) = -24 [f_{Tr}^{\mu}(r)]^2 F_{Fr1}^{\mu}(r) + \frac{4}{3} \left\{ f_{Cr1}^{\mu}(r) - \frac{1}{4} f_{SOt}^{\mu}(r) - f_{Tr}^{\mu}(r) \right\} f_{SOt}^{\mu}(r) F_{qFr1}^{\mu}(r)$$

$$F_{qLts}^{\mu}(r) = [f_{Cts}^{\mu}(r)]^2 F_{qFts}^{\mu}(r) + 8s [f_{Tr}^{\mu}(r)]^2 [6F_{Fr1}^{\mu}(r) + F_{qFts}^{\mu}(r)] + \frac{2}{3}s [f_{SOt}^{\mu}(r)]^2 F_{bFr1}^{\mu}(r)$$

$$F_{qSOt}^{\mu}(r) = \frac{2}{3} [f_{Cr1}^{\mu}(r)]^2 F_{qFr1}^{\mu}(r) - \frac{2}{3} f_{Cr1}^{\mu}(r) [2f_{Tr}^{\mu}(r) + f_{SOt}^{\mu}(r)] F_{qFr1}^{\mu}(r)$$

$$+ 8s [f_{Tr}^{\mu}(r)]^2 \left[72F_{Fr1}^{\mu}(r) + \frac{20}{3} F_{qFr1}^{\mu}(r) \right] + \frac{8}{3} f_{Tr}^{\mu}(r) f_{SOt}^{\mu}(r) F_{qFr1}^{\mu}(r) + \frac{2}{3}s [f_{SOt}^{\mu}(r)]^2 F_{bFr1}^{\mu}(r)$$

変分計算における2つの拘束条件

1. Mayer条件 (規格化条件の一種)

$$4\pi\rho \int_0^\infty [F_{ts}^\mu(r) - F_{Fts}^\mu(r)] r^2 dr = 0$$

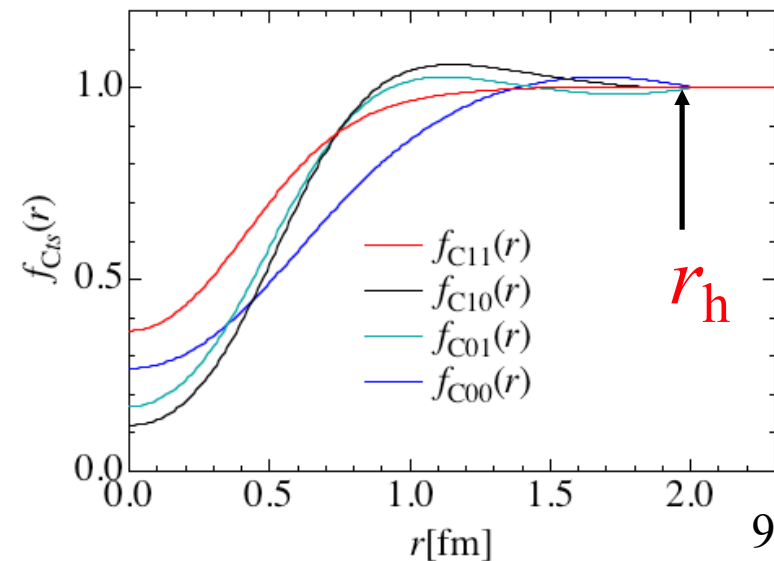
2. Healing distance: r_h

$$f_{Cts}^\mu(r) = 1, f_{Tt}^\mu(r) = 0, f_{Sot}^\mu(r) = 0 \quad (r > r_h)$$

$$\boxed{r_h = a_h r_0} \quad \frac{4\pi r_0^3}{3} = \frac{1}{\rho}$$

a_h : Adjustable parameter

APR (FHNC)による対称核物質の
エネルギー計算値を再現する
ように決定.

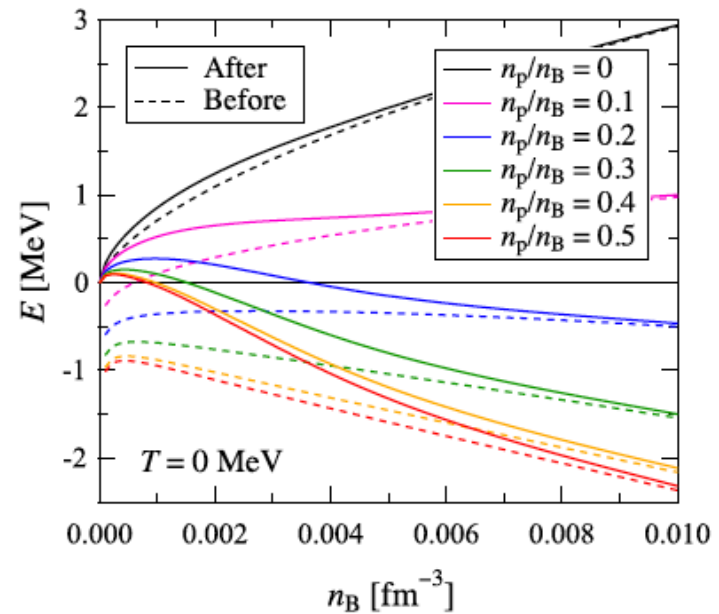
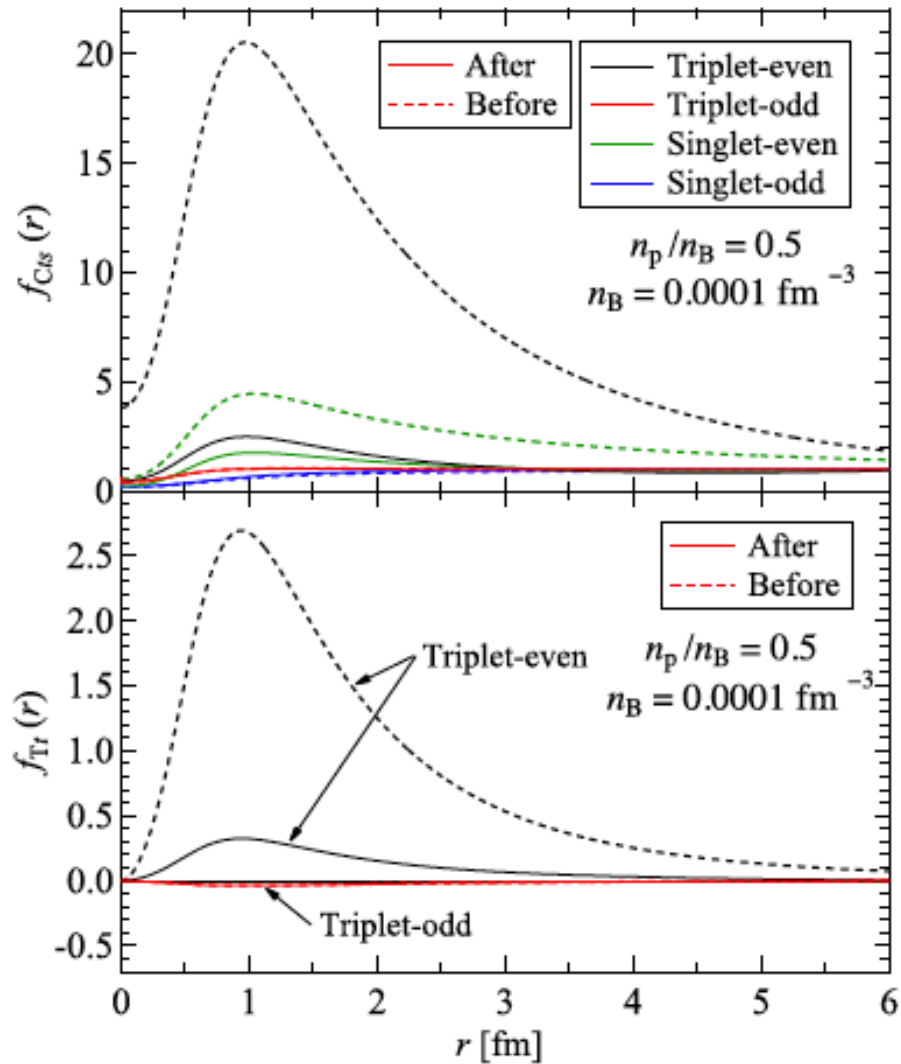


Healing distance: 低密度での補正

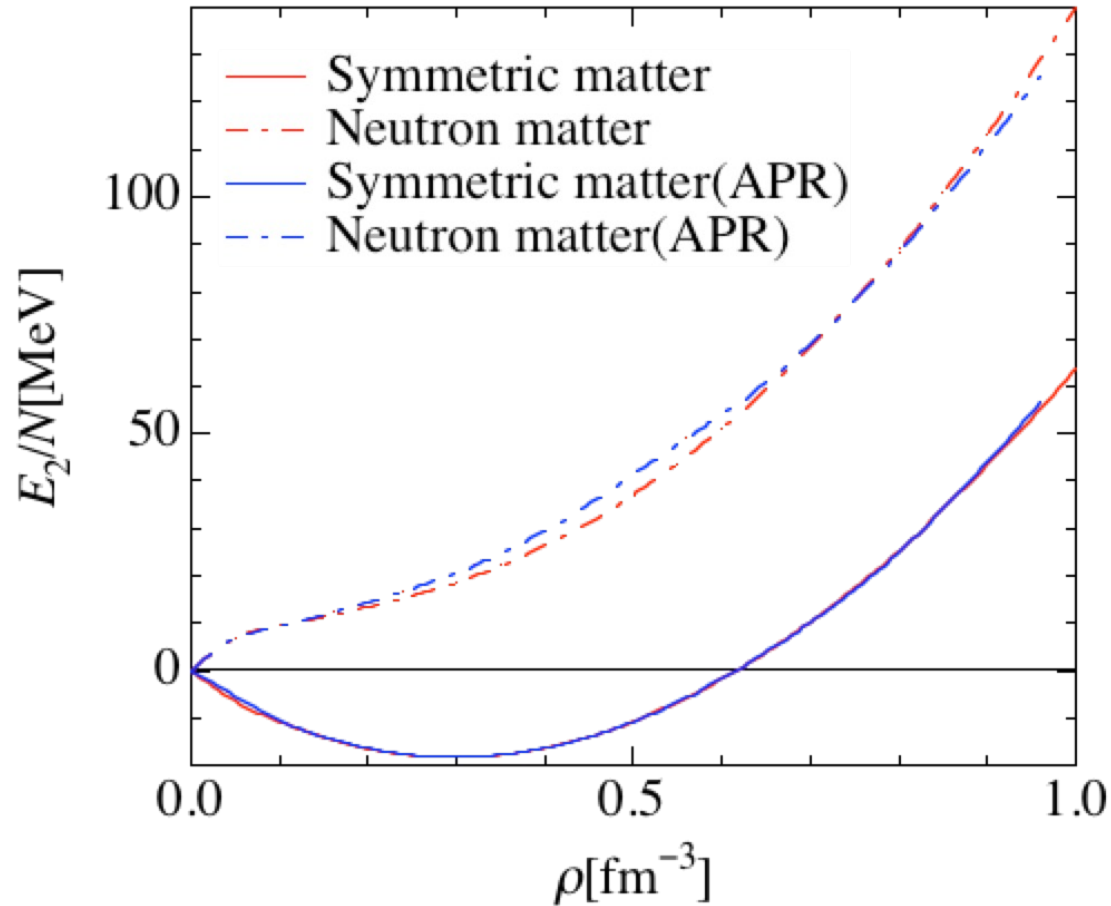
低密度での重陽子クラスター形成の回避

$$r_h = \frac{a_h r_0}{[1 + (a_h r_0 / b_h)^{c_h}]^{1/c_h}}$$

$$b_h = 6.83 \text{ fm}$$



E_2/N : 2体力までのエネルギー



Kanzawa et al.
NPA791(2007)232

$$r_h = a_h r_0$$

$$a_h = 1.76$$

2体クラスター近似+Healing distance条件



APR(FHNC計算)の結果を良く再現

*) A. Akmal et al., Phys. Rev. C58(1998)1804

3体力エネルギー期待値

UIX potential $V_{ijk} = V_{ijk}^{2\pi} + V_{ijk}^R$ $V_{ijk}^{2\pi}$: 2π 交換項
 V_{ijk}^R : 斥力項

縮退したフェルミ気体の波動関数による期待値

$$\frac{E_3^{2\pi}}{N} = \frac{1}{N} \sum_{i < j < k} \langle V_{ijk}^{2\pi} \rangle_F \quad \frac{E_3^R}{N} = \frac{1}{N} \sum_{i < j < k} \langle V_{ijk}^R \rangle_F$$

3体力の不定性を利用し、核物質実験値を再現する

$$\frac{E_3}{N}(x) = \alpha \frac{E_3^R}{N}(x) + \beta \frac{E_3^{2\pi}}{N}(x) + \gamma \rho^2 e^{\rho \delta} [1 - (1 - 2x)^2]$$

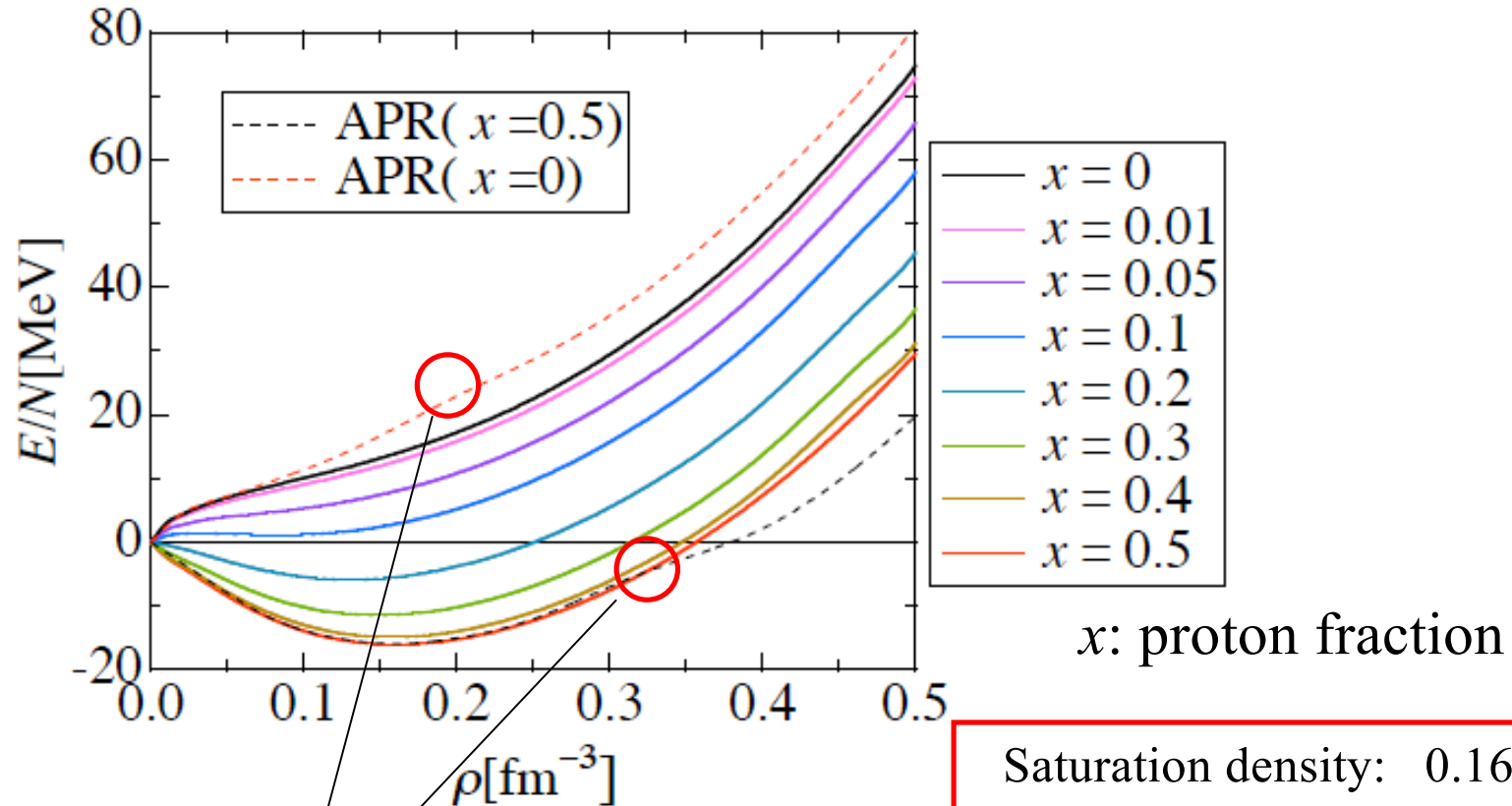
全エネルギー — $\frac{E}{N} = \frac{E_2}{N} + \frac{E_3}{N}$ 対称核物質に対する補正項 x : 陽子混在度

調節 parameters : $\alpha, \beta, \gamma, \delta$

核物質の経験値を再現するように決定

$$\alpha = 0.43, \beta = -0.34, \gamma = -1804 \text{ MeVfm}^6, \delta = 14.62 \text{ fm}^3$$

絶対零度非対称核物質のエネルギー



Pion condensation

Saturation density: 0.16 fm^{-3}
 Saturation energy: -16.1 MeV
 Incompressibility: 250 MeV
 Symmetry energy: 30 MeV

有限温度一様非対称核物質の状態方程式

K. E. Schmidt and V. R. Pandharipande: Phys. Lett. 87B(1979) 11.

Free energy

$$\frac{F}{N} = \frac{E_0}{N} - T \frac{S_0}{N}$$

E_0/N : 内部エネルギー

S_0/N : エントロピー

$$\frac{E_0}{N} = \frac{E_2}{N} + \frac{E_3}{N}$$

E_2/N : 絶対零度での E/N における陽子と中性子の
一核子状態の占有確率を、
温度 T での平均占有確率 $n_i(k)$ に置き換える

E_3/N : 温度効果は無視する

平均占有確率 $n_i(k)$

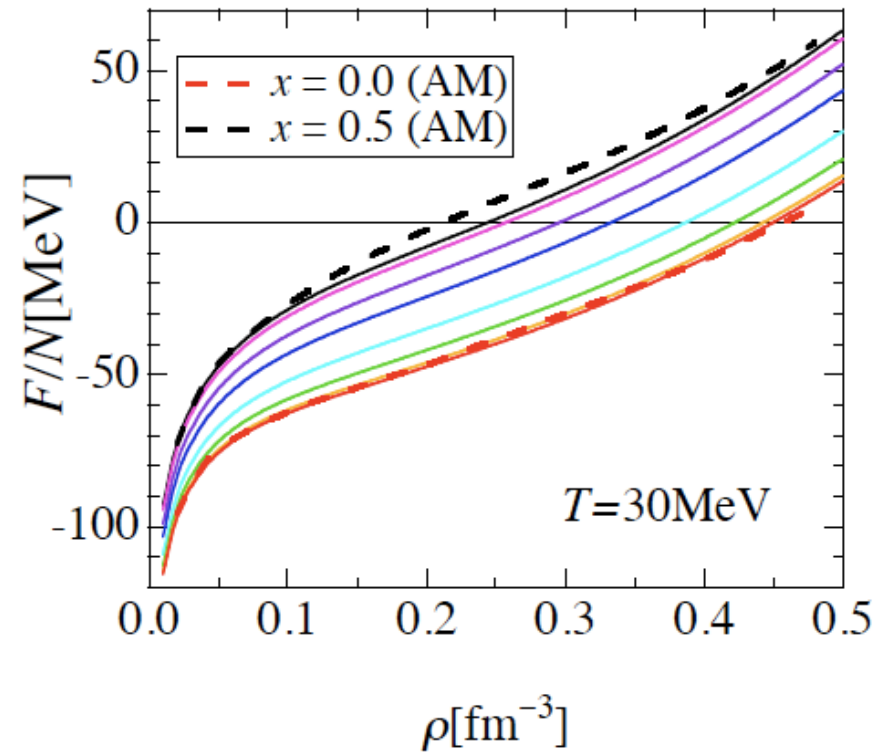
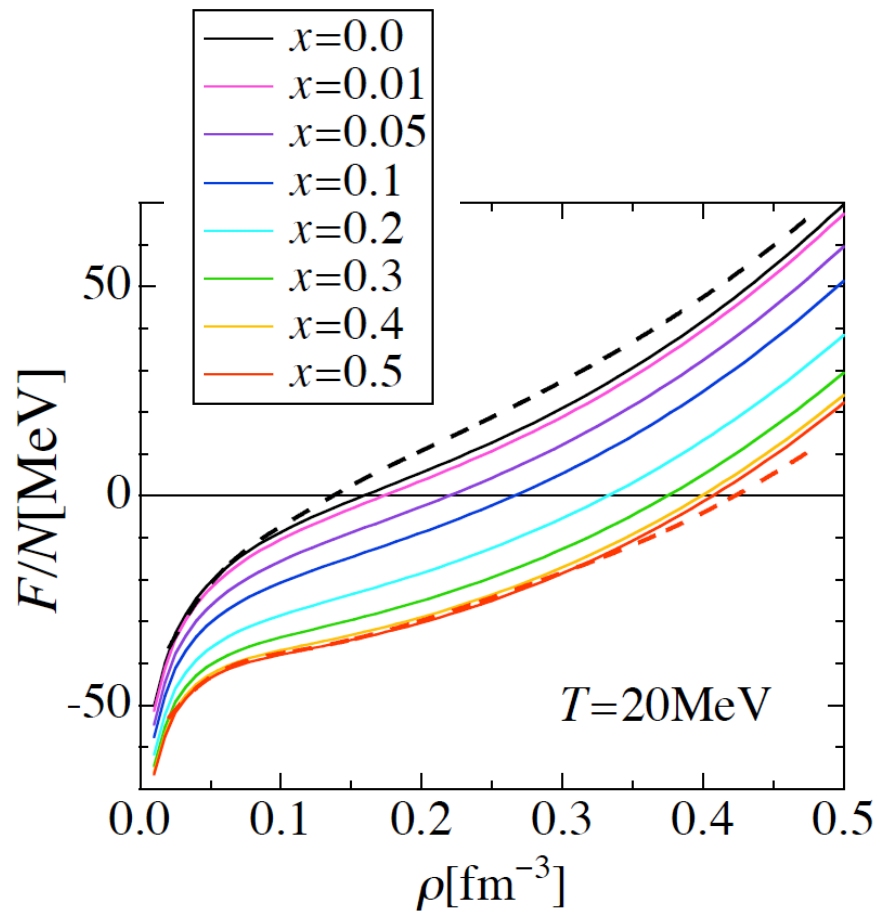
$$n_i(k) = \left\{ 1 + \exp \left[\frac{e_i(k) - \mu_i}{k_B T} \right] \right\}^{-1}, \quad e_i(k) = \frac{\hbar^2 k^2}{2m_i^*} \quad (i = p, n)$$

\leftarrow 有効質量

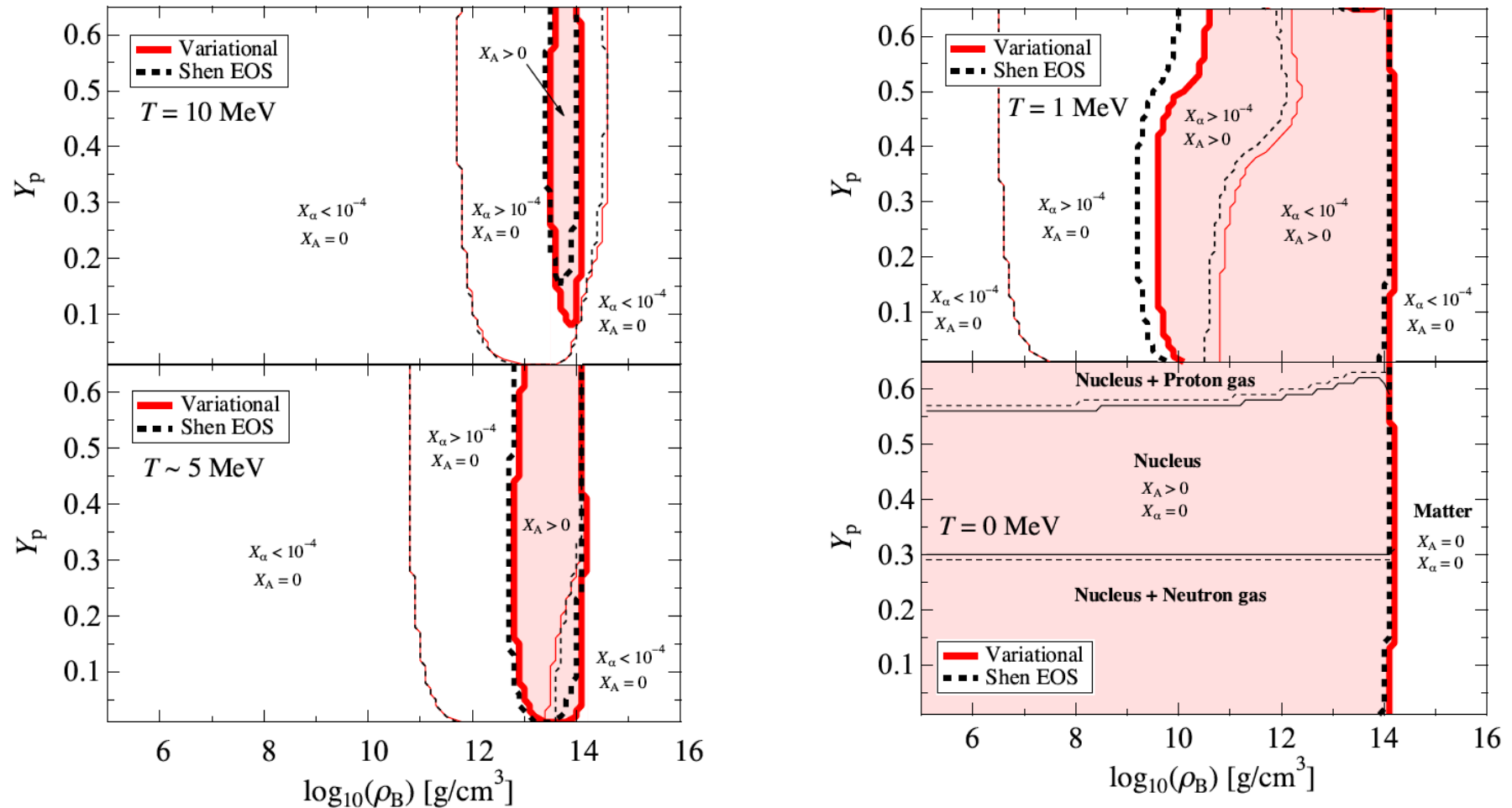
$$\frac{S_0}{N} = -\frac{k_B}{N} \sum_{i=p, n} \sum_j \left\{ [1 - n_i(k_j)] \ln[1 - n_i(k_j)] + n_i(k_j) \ln[n_i(k_j)] \right\}$$

自由エネルギーを m_p^* と m_n^* について最小化

非対称核物質の自由エネルギー

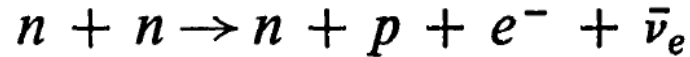


Phase Diagram of Nuclear Matter

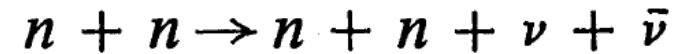


修正URCA過程と核子制動放射

修正URCA過程

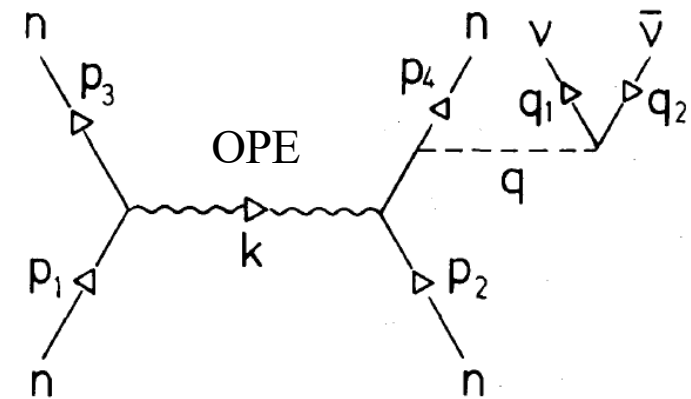
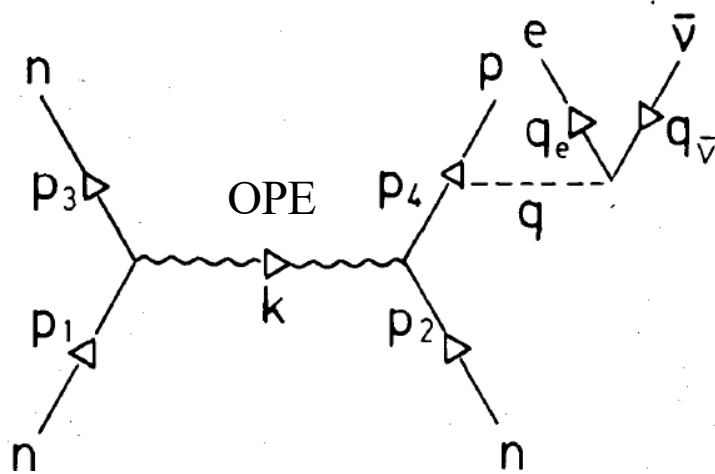


核子制動放射



B. L. Friman and O. V. Maxwell, *Astrophys. J.* 232 (1979)451.

摂動論：核力(One-pion exchange等)による核子散乱



$$\epsilon_{\text{URCA}} = \frac{11513}{60480} \frac{G^2 g_A^2 m_n^{*3} m_p^*}{2\pi\hbar} \left(\frac{f}{m_\pi}\right)^4 p_F(e) \alpha_{\text{URCA}} (kT)^8 \quad \epsilon_{nn} = \frac{41}{14175} \frac{G^2 g_A^2 m_n^{*4}}{2\pi\hbar} \left(\frac{f}{m_\pi}\right)^4 p_F(n) F\left[\frac{m_\pi}{2p_F(n)}\right] (kT)^8$$

どちらも温度 T の8乗

2. LOCV法を用いた修正URCA過程のニュートリノ放出率

A. Dehghan Niri et al., Phys. Rev. C93 (2016) 045806



有効質量

$$Q_\nu^{\text{Mn}(e)} = \frac{11513}{945} \frac{G^2 (1 + 3c_A^2)}{c^4 \pi \hbar^{13} 2^{10}} m_n^{*3} m_p^* \frac{k_{Fp} k_{Fe}^2}{k_{Fn}^6} \mathcal{R}(k_{Fn}) (k_B T)^8$$

$$\mathcal{R}(k_{Fn}) = F_c^2 + 12.7 F_t^2$$

中心力相関

$$F_c = 4\pi k_{Fn}^3 \int_0^\infty dr r^2 j_0(k_{Fn} r) [f_c^{(nn)}(r) f_c^{(np)}(r) - 1]$$

テンソル力相関

$$F_t = 4\pi k_{Fn}^3 \int_0^\infty dr r^2 j_2(k_{Fn} r) f_c^{(nn)}(r) f_t^{(np)}(r)$$

相関関数: Lowest Order Constrained Variational(LOCV)法で評価

n-n相関: 1S_0 成分の中心力のみ

n-p相関: 3S_1 - 3D_1 成分を用いる

有効質量: G行列計算結果を代用する

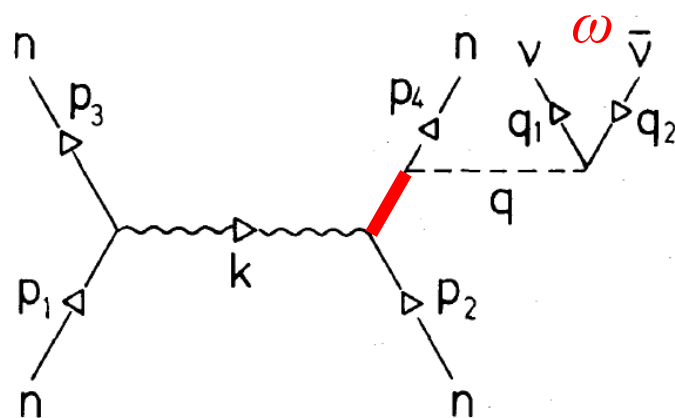
LOCV法を用いたニュートリノ放出率計算の困難

核子制動放射のニュートリノ放出率に応用した場合

$$Q = \frac{93}{7425} \frac{\pi G^2 (1 + 3c_A^2)}{c^6 \hbar^{15}} m_n^{*4} \frac{1}{k_{Fn}^5} R(k_{Fn}) (k_B T)^{10} \quad T \text{の10乗}$$

$$(1 + 3c_A^2) R(k_{Fn}) = \left[4\pi k_{Fn}^3 \int_0^\infty [f_{C10}^-(r) - 1] j_0(k_{Fn} r) r^2 dr \right]^2 + 3c_A^2 \times \left[4\pi k_{Fn}^3 \int_0^\infty [f_{C10}^-(r) f_{C11}^-(r) - 1] j_0(k_{Fn} r) r^2 dr \right]^2$$

Friman&Maxwell(1979)



中間状態の核子のpropagator $\sim 1/\omega$

$$\sim 1/T^2$$

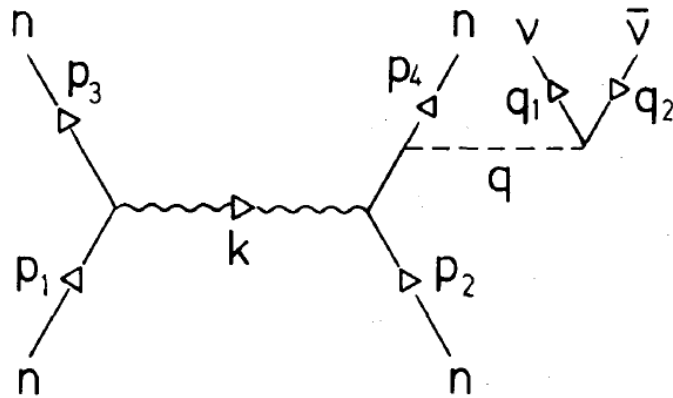
中間状態のexplicitな取り扱いが重要

変分法では考慮できない

3. Maxwellの方法への変分法の適用

O. V. Maxwell, Astrophys. J. 316 (1987) 691.

B. L. Friman and O. V. Maxwell, Astrophys. J. 232 (1979)451.



核子間相互作用 **OPEP**

$$V_{12}(\mathbf{k}) = - \left(\frac{f}{m_\pi} \right)^2 (\boldsymbol{\tau}_1 \cdot \boldsymbol{\tau}_2) \frac{(\boldsymbol{\sigma}_1 \cdot \mathbf{k})(\boldsymbol{\sigma}_2 \cdot \mathbf{k})}{k^2 + m_\pi^2}$$

Friman&Maxwell(1979)

Emissivity

$$\epsilon_{\nu\bar{\nu}} = \frac{1}{\hbar} \int \prod_{i=1}^4 \frac{d^3 p_i}{(2\pi)^3} \frac{d^3 q_1}{(2\pi)^2 2\omega_1} \frac{d^3 q_2}{(2\pi)^2 2\omega_2} (2\pi) \delta(E_f - E_i) (2\pi)^3 \delta(\mathbf{P}_f - \mathbf{P}_i) (\omega_1 + \omega_2) n_1 n_1 (1 - n_3) (1 - n_4) \sum_{\text{spins}} |M(\mathbf{k}, \mathbf{k}')|^2$$

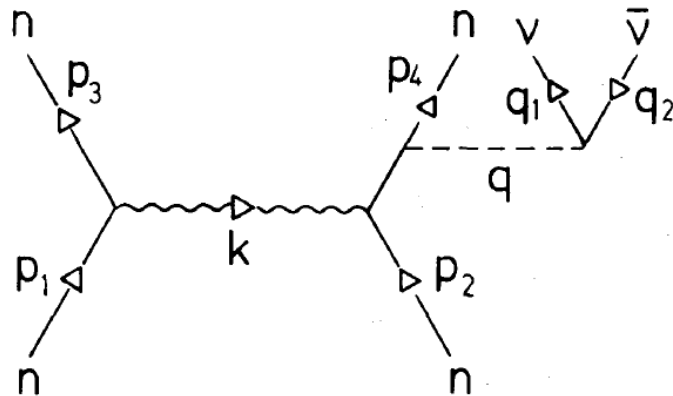
$$\sum_{\text{spins}} |M(\mathbf{k}, \mathbf{k}')|^2 = 128 \frac{G^2}{2} \left(\frac{f}{m_\pi} \right)^4 F(\mathbf{k}, \mathbf{k}')$$

$$F_{nn}(\mathbf{k}, \mathbf{k}') = \left(\frac{k^2}{k^2 + m_\pi^2} \right)^2 + \left(\frac{k'^2}{k'^2 + m_\pi^2} \right)^2 + \frac{1}{(k^2 + m_\pi^2)(k'^2 + m_\pi^2)} [k^2 k'^2 - 3(\mathbf{k} \cdot \mathbf{k}')]]$$

3. Maxwellの方法への変分法の適用

O. V. Maxwell, Astrophys. J. 316 (1987) 691.

B. L. Friman and O. V. Maxwell, Astrophys. J. 232 (1979)451.



Friman&Maxwell(1979)

核子間相互作用 **OPEP**

$$V_{12}(\mathbf{k}) = - \left(\frac{f}{m_\pi} \right)^2 (\tau_1 \cdot \tau_2) \frac{(\sigma_1 \cdot \mathbf{k})(\sigma_2 \cdot \mathbf{k})}{k^2 + m_\pi^2}$$



長距離成分：AV18ポテンシャルの遠距離成分(**OPEP**)の期待値の2体クラスター近似に置き換える。



核子間相関の効果をOPEPの **f** と **m_π** の変化として考慮

有効OPEP決定方法

$$V_{ij}^{\text{OPE}}(f, m_\pi) = f^2(\boldsymbol{\tau}_i \cdot \boldsymbol{\tau}_j) \left[(\boldsymbol{\sigma}_i \cdot \boldsymbol{\sigma}_j) V_c(m_\pi r_{ij}) + S_{Tij} V_T(m_\pi r_{ij}) \right]$$

$$V_c(x) = \frac{e^{-x}}{x} \quad V_T(x) = \left(1 + \frac{3}{x} + \frac{3}{x^2}\right) \frac{e^{-x}}{x}$$

核子対の種類 $\nu = (\text{pp}, \text{pn}, \text{nn})$ に対して、以下の様に $(f_\nu^*, m_{\pi\nu}^*)$ を導入する。

$$\begin{aligned} \frac{\langle V^{\text{OPE}} \rangle}{N} &= \sum_\nu \int \cdots \int dx_1 \cdots dx_N \Psi^\dagger(x_1, \cdots, x_N) \sum_{i>j} V_{ij}^{\text{OPE}}(f, m_\pi) P_{\nu ij} \Psi(x_1, \cdots, x_N) \\ &= \sum_\nu \int \cdots \int dx_1 \cdots dx_N \Phi_F^\dagger(x_1, \cdots, x_N) \sum_{i>j} g_{ij}^\nu V_{ij}^{\text{OPE}}(f, m_\pi) P_{\nu ij} \Phi_F(x_1, \cdots, x_N) \\ &= \sum_\nu \int \cdots \int dx_1 \cdots dx_N \Phi_F^\dagger(x_1, \cdots, x_N) \sum_{i>j} V_{ij}^{\text{OPE}}(f_\nu^*, m_{\pi\nu}^*) P_{\nu ij} \Phi_F(x_1, \cdots, x_N) \end{aligned}$$

$\Psi(x_1, \cdots, x_N)$: 核物質の波動関数

$\Phi_F(x_1, \cdots, x_N)$: 核子間相関の無いFermi気体の場合の波動関数

$P_{\nu ij}$: 核子対の種類に関する射影演算子

有効OPEP決定方法

2体クラスター近似

$$\frac{\langle V^{\text{OPE}} \rangle}{N} = 2\pi\rho \sum_{t=0}^1 \sum_{\mu} \sum_{s=0}^1 \int_0^{\infty} r^2 dr \left[F_{ts}^{\mu}(r) V_{Cts}^{\text{OPE}}(r) + s F_{Tt}^{\mu}(r) V_{Tt}^{\text{OPE}}(r) \right]$$

$$F_{ts}^{\mu}(r) = \left\{ [f_{Cts}^{\mu}(r)]^2 + 8s [f_{Tt}^{\mu}(r)]^2 \right\} F_{Fts}^{\mu}(r) + \frac{2}{3}s [f_{SOt}^{\mu}(r)]^2 F_{qFts}^{\mu}(r),$$

$$F_{Tt}^{\mu}(r) = 16f_{Tt}^{\mu}(r) [f_{Ct1}^{\mu}(r) - f_{Tt}^{\mu}(r)] F_{Ft1}^{\mu}(r) - \frac{2}{3}s [f_{SOt}^{\mu}(r)]^2 F_{qFt1}^{\mu}(r),$$

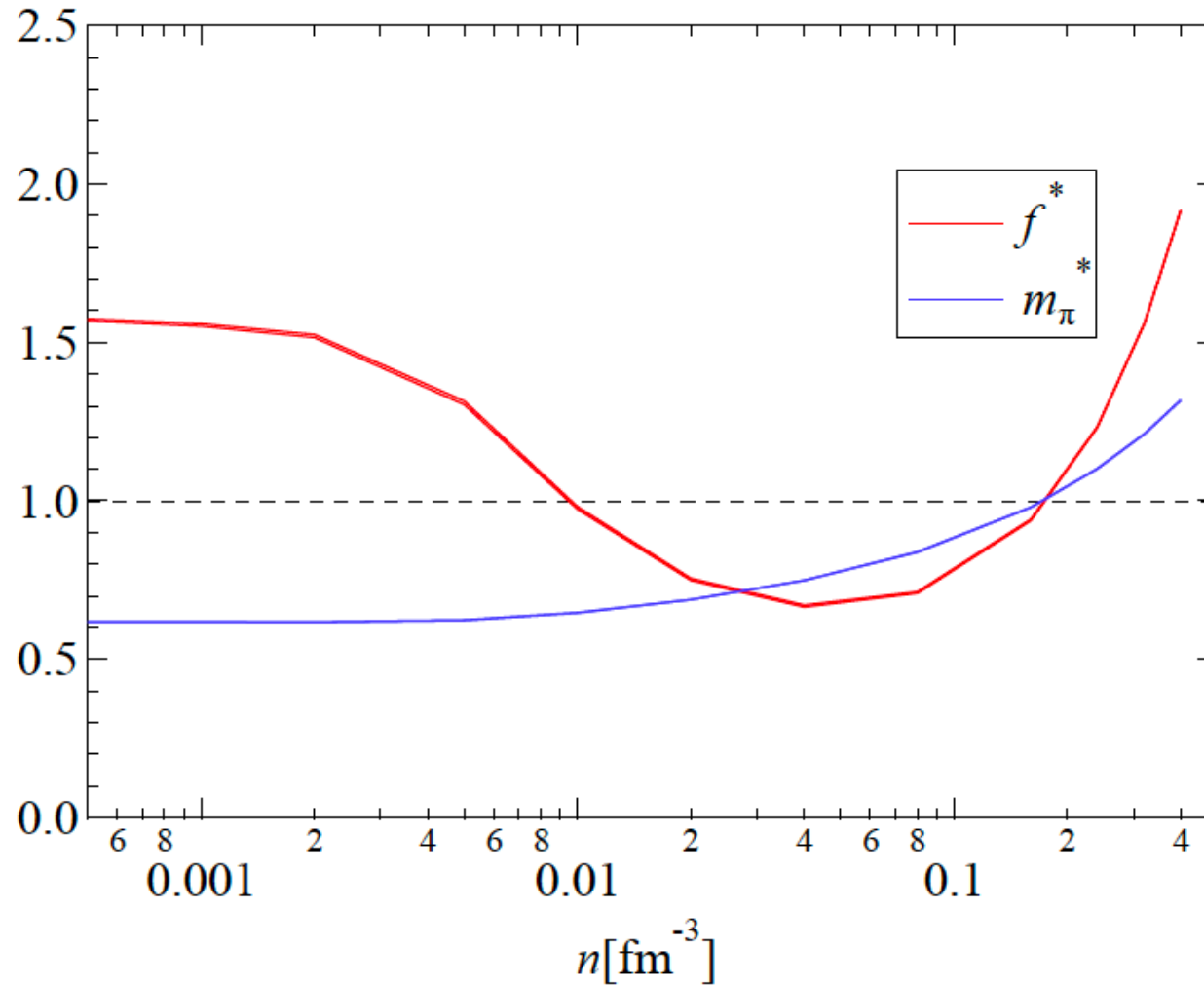
$$F_{Fts}^{\mu}(r_{12}) \equiv \Omega^2 \sum_{\text{isospin}} \sum_{\text{spin}} \int \Phi_{\text{F}}^{\dagger} P_{ts12}^{\mu} \Phi_{\text{F}} dr_3 dr_4 \cdots dr_N$$

$$= \frac{2s+1}{4} \{ \xi_i \xi_j - (-1)^{t+s} l_i(r_{12}) l_j(r_{12}) \},$$

$$F_{qFts}^{\mu}(r_{12}) \equiv \Omega^2 \sum_{\text{isospin}} \sum_{\text{spin}} \int \Phi_{\text{F}}^{\dagger} |L_{12}|^2 P_{ts12}^{\mu} \Phi_{\text{F}} dr_3 dr_4 \cdots dr_N$$

$$= \frac{2s+1}{4} \left\{ \frac{r_{12}^2}{10} \xi_i \xi_j (k_{\text{Fi}}^2 + k_{\text{Fj}}^2) - (-1)^{t+s} \frac{r_{12}}{2} \left[l_i(r_{12}) \frac{dl_j(r_{12})}{dr_{12}} + l_j(r_{12}) \frac{dl_i(r_{12})}{dr_{12}} \right] \right\},$$

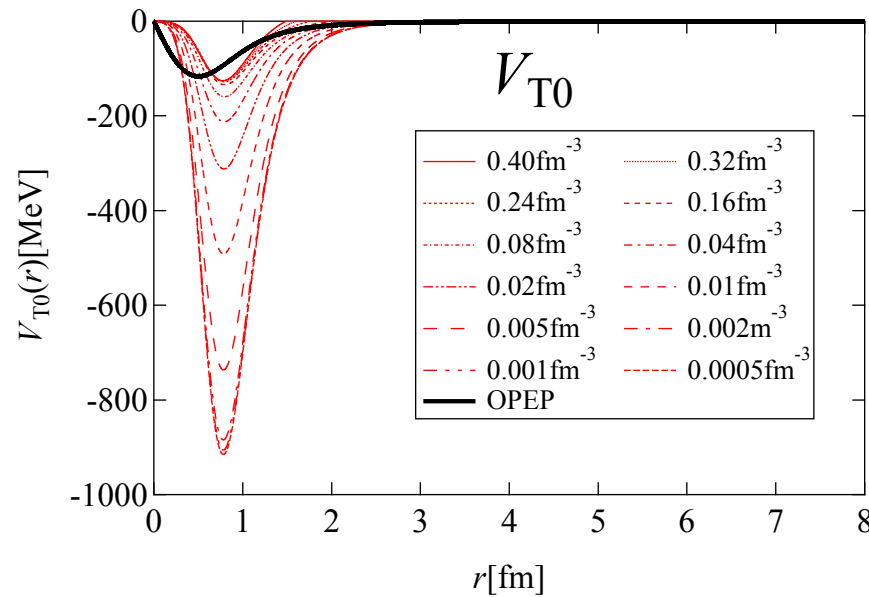
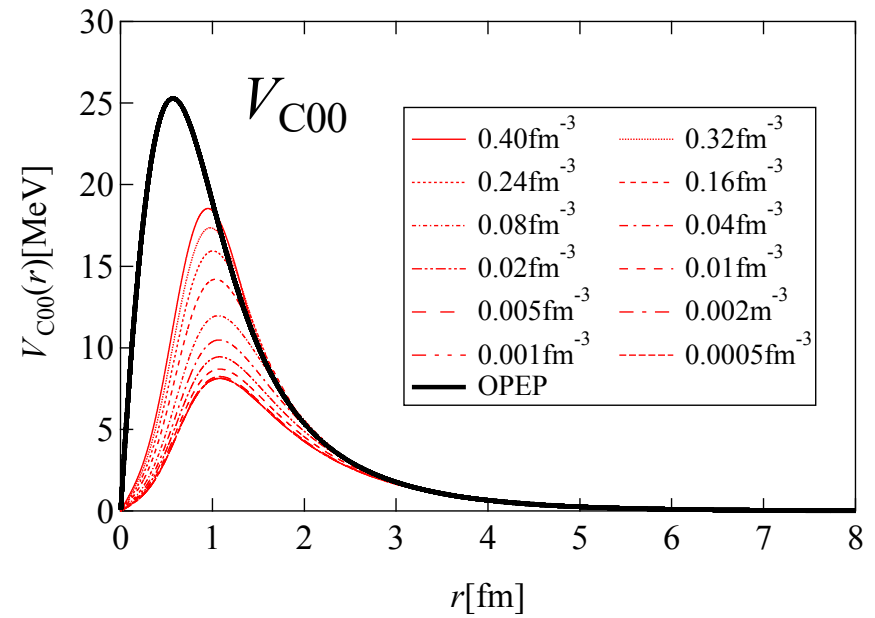
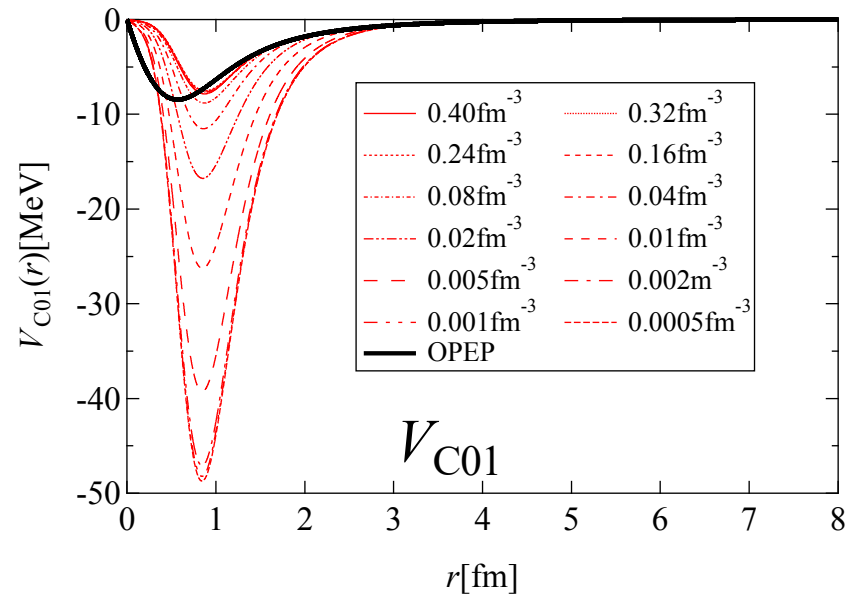
有効OPEPのパラメーター(pn-pair)



preliminary

$T = 0$ の有効OPEP

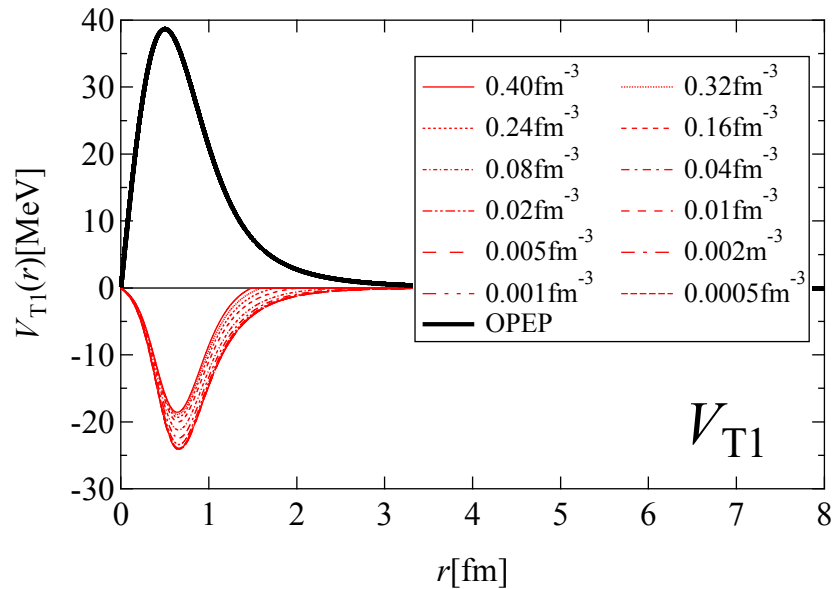
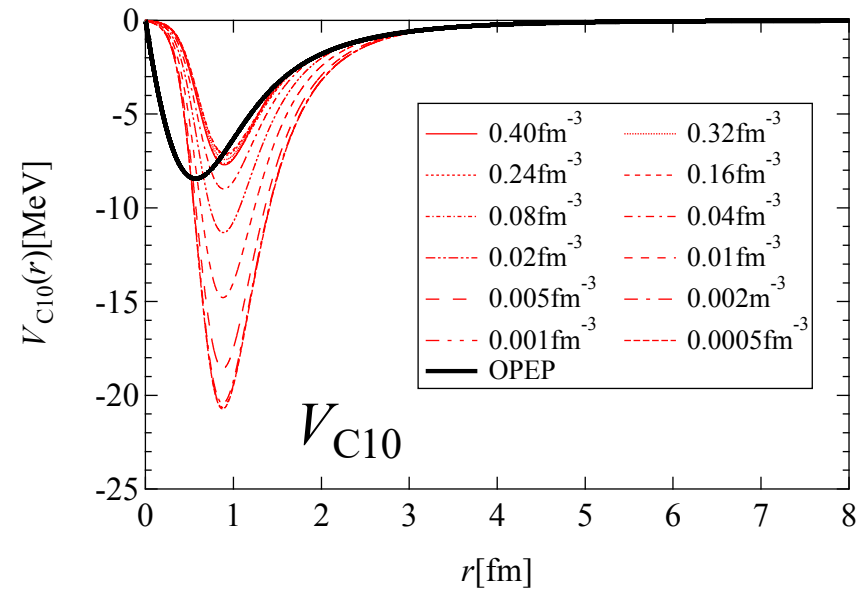
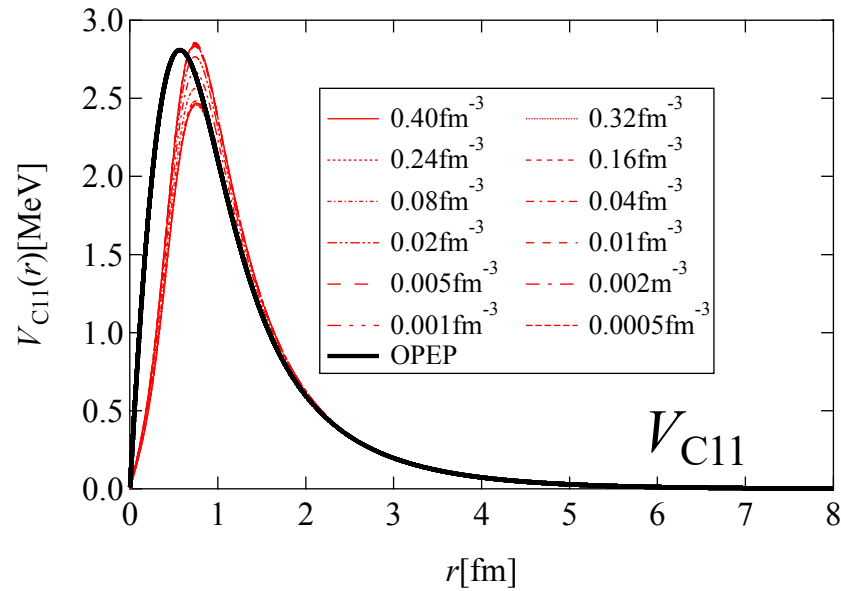
$Y_p = 0.5$ ^{24/28}



preliminary

$T = 1$ の有効OPEP

$Y_p = 0.5$ 25/28



(nn, pp) pairの場合、
中心力成分とテンソル力成分で
互いに打ち消し
 $f^* \rightarrow 0$ になってしまう?

preliminary

有効OPEP+中心力相互作用

$$V_{12}^{\text{eff}}(\mathbf{k}) = -f^* \left(\frac{f}{m_\pi} \right)^2 (\boldsymbol{\tau}_1 \cdot \boldsymbol{\tau}_2) \frac{(\boldsymbol{\sigma}_1 \cdot \mathbf{k})(\boldsymbol{\sigma}_2 \cdot \mathbf{k})}{k^2 + m_\pi^{*2}} + g^2 (\boldsymbol{\tau}_1 \cdot \boldsymbol{\tau}_2) \frac{(\boldsymbol{\sigma}_1 \cdot \boldsymbol{\sigma}_2)}{k^2 + m_c^2}$$

有効OPEP

中心力相互作用

有効OPEP: テンソル力成分のみを再現するように決定

中心力相互作用: 中心力成分を再現するように調整

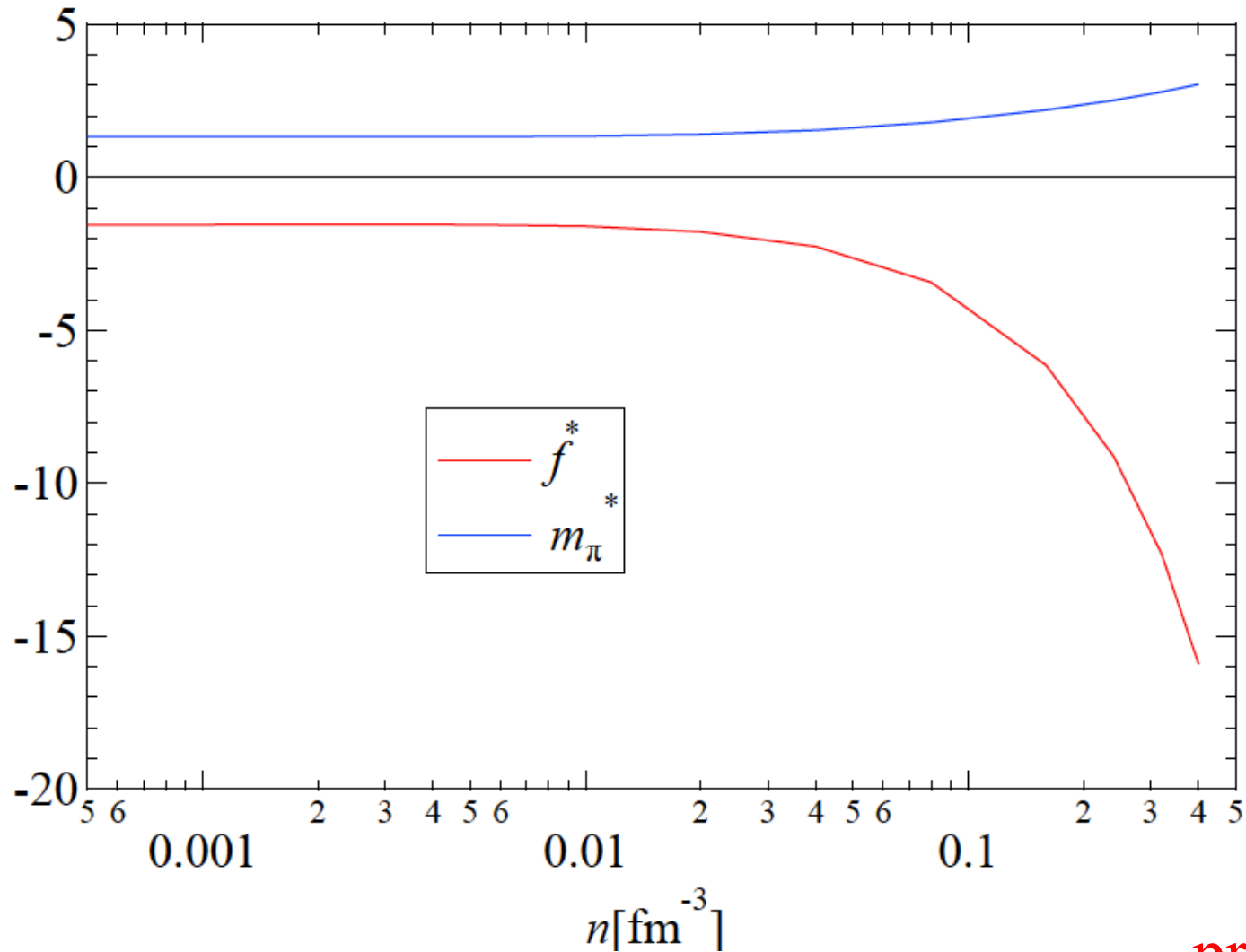
(nn, pp)-pairの場合、中心力相互作用は
Emissivityの行列要素に効かない。

$$\sum_{\text{spins}} |M(\mathbf{k}, \mathbf{k}')|^2 = 128 \frac{G^2}{2} \left(\frac{f}{m_\pi} \right)^4 F(\mathbf{k}, \mathbf{k}')$$

$$F_{\text{nn}}(\mathbf{k}, \mathbf{k}') = \left(\frac{k^2}{k^2 + m_\pi^2} \right)^2 + \left(\frac{k'^2}{k'^2 + m_\pi^2} \right)^2 + \frac{1}{(k^2 + m_\pi^2)(k'^2 + m_\pi^2)} [k^2 k'^2 - 3(\mathbf{k} \cdot \mathbf{k}')]]$$

$T = 1$ の有効OPEP

テンソル力成分のみで決定



preliminary

まとめ

Maxwellの方法に変分法を適用した 核子制動放射によるニュートリノ放射率計算

- 核子間相関の効果を組み込んだ有効OPEPへの変換
- pn-channelでは妥当な有効OPEPが得られた。
- (pp,nn)-channelでは有効OPEP+有効中心力相互作用の適用を検討した。

今後の課題

- pn-channelへの有効OPEP+有効中心力相互作用の適用
- 低密度極限でのクラスター形成効果の除去方法の検討
- 有効質量も考慮したeffectiveな放射率の完成